

## Tài liệu tham khảo

1 BP (2009), volume II, 3292-3297.

2 Marcus E.Brewster, Thorsteinn Loftsson, Comparative interaction of 2-hydroxypropyl- $\beta$ -cyclodextrin and sulfobutylether- $\beta$ -cyclodextrin with itraconazole: Phase solubility behavior and stabilization of supersaturated drug solutions, *European Journal of Pharmaceutical Sciences* (2008), 34, 94-103.

3 Sang-Yun Lee, In-II Jung, Jong-Hoon Ryu, Preparation of ITZ/HP- $\beta$ -CD inclusion complexes using supercritical aerosol solvent extraction system

and their dissolution characteristics, *J of Supercritical Fluids* (2008), 44, 400-408.

4. Ibrahim A.Alzarrar, Fars K.Alanazi, Sayed M.Ahmed, Ahmed A.Bosela, Suliman S.Alahmed, Hammam A.Mowafy and Steven H.Neau, Comparative study of itraconazole-cyclodextrin inclusion complex and its commercial product, *Arch Pharm Res* (2010), 33(7), 1009-1017.

5. Kamlesh Kumar, Vijay Sharma, Betty Philip, Kamla Pathak, Preparation and evaluation of binary and ternary inclusion complex of Itraconazole, *Scholars Research Library* (2010), 2(4), 144-155.

# ✓ Khảo sát thành phần hóa học cao ethyl acetat cây gừng gió (*Zingiber zerumbet* (L.) Sm.)

Ngô Trọng Nghĩa<sup>1</sup>, Nguyễn Tân Phái<sup>1</sup>,  
Phùng Văn Trung<sup>2</sup>, Nguyễn Ngọc Hạnh<sup>2</sup>

<sup>1</sup>Dai hoc Cần Thơ

<sup>2</sup>Viện Công nghệ Hoá học

## Đặt vấn đề

Gừng gió còn gọi là riềng gió, ngải xanh, mai gan (theo đồng bào dân tộc miền núi), ngải mặt trời, nèng dai, gừng dai, gừng giềng, phong khương, khinh keng (Tây), khuhet phuu, brateal, vong atic (Campuchia), ginembrefou (Pháp), Phong Khương (Trung Quốc), phân bố ở vùng nhiệt đới. Ở Việt Nam cây mọc rải rác vùng trung du, vùng núi thấp. Gừng gió có vị đăng, cay, tính ấm, với công năng tán phong hán, giảm đau, trị ứ huyết, nên tri được chứng trúng gió, chóng mặt, nôn nao, ngát xiu, đặc biệt có khả năng tẩy độc, bồi dưỡng sau sinh, kích thích tiêu hoá, ăn ngon, ngủ tốt, khiến da dẻ trở nên hồng hào<sup>[1-3]</sup>. Trong những năm gần đây, đã có nhiều nghiên cứu về thành phần hóa học và hoạt tính sinh học cây gừng gió ở Việt Nam cũng như trên thế giới<sup>[4-6]</sup>. Trong bài báo này chúng tôi trình bày việc cô lập và nhận danh cấu trúc các hợp chất flavonoid từ dịch chiết ethyl acetat của thân rễ cây gừng gió mọc tại huyện Tri Tôn, tỉnh An Giang.

## Nguyên liệu và phương pháp

### Nguyên liệu

Thân rễ cây gừng gió được thu hái tại An Giang vào tháng 6/2011, cây trồng được 08 tháng

## Phương pháp xác định cấu trúc và chiết xuất

Điem nóng chảy được đo trên máy ELECTROTHERMAL 9100 (UK), mao quản không hiệu chỉnh. Các phổ cộng hưởng từ hidrogen <sup>1</sup>H-NMR, <sup>13</sup>C-NMR, DEPT, HSQC, HMBC được ghi trên máy BRUKER AVANCE (500 MHz) và VARIAN (600 MHz) độ dịch chuyển hóa học tính theo δ (ppm). Hảng số tương tác (J) tính bằng Hz. Sắc ký lớp mỏng (TLC) được thực hiện trên bàn nhôm silica gel Merck-GF60F<sub>254</sub> trắng sẵn, kích thước 20 × 20 cm, độ dày lớp hapan phu 0,2 mm của hãng Merck, Germany. Sắc ký cột trung áp dung silica gel 60, MERCK, đường kính hạt 0,040-0,063 mm.

Thân rễ gừng gió còn tươi (3,4 kg) được trích kiết bằng phương pháp đun hoán lưu nóng với ethanol 96%. Sau khi thu hồi dung môi, được cao ethanol (120 g), cao này được chiết lồng-lồng lần lượt với n-hexan, ethyl acetat và butanol thu được các cao tương ứng là ZZH (7 g), ZZE (11 g) và ZZB (70 g). Từ cao ZZE (11 g) tiến hành sắc ký cột trung áp với hệ dung môi có độ phân cực tăng dần n-hexan, ethyl acetat và methanol, tại phân đoạn 2, thu được hợp

## ● Nghiên cứu – Kỹ thuật

chất (1) (22 mg) và hợp chất (2) (13mg); gồm phân đoạn 3 và 4, tiếp tục sắc ký cột trung áp, thu được hợp chất (3) (12 mg).

### Kết quả và thảo luận

#### Xác định hợp chất (1)

Hợp chất (1) thu được dưới dạng bột vô định hình, màu vàng; điểm nóng chảy: 249-250 °C; sắc ký lớp mỏng (TLC) triển khai bằng hỗn hợp dung môi n-hexan-EtOAc (7 : 3) hiện màu băng dung dịch  $H_2SO_4$  10% trong EtOH, cho vết tròn màu vàng có  $R_f = 0,14$ .

**Phổ  $^1H$ -NMR (500 MHz, DMSO, δ ppm)** (Bảng 1) cho các tín hiệu cộng hưởng của 2 proton vòng thơm ghép cặp *meta* ở  $\delta_H$  6,20 (1H, d, J = 2, H<sub>6</sub>) và  $\delta_H$  6,44 (1H, d, J = 2, H<sub>3</sub>); và 4 proton vòng thơm ghép cặp *ortho* ở  $\delta_H$  6,94 (2H, d, J = 9, H<sub>4'</sub>, H<sub>3'</sub>) và  $\delta_H$  7,56 (1H, m, H<sub>4'</sub>, H<sub>2'</sub>) cho thấy hợp chất (1) có hai vòng thơm, một vòng mang 4 nhóm thê và một vòng thơm mang 2 nhóm thê đối xứng. Ngoài ra, phổ  $H$ -NMR của (1) còn cho tín hiệu của nhóm hydroxyl kiềm nói ở vùng trường thấp  $\delta_H$  12,68 (1H, s, 5-OH) và 1 nhóm methoxyl ở  $\delta_H$  3,78 (3H, s). Phổ  $^{13}C$ -NMR (125 MHz, δ ppm) cho các tín hiệu cộng hưởng của 16 carbon, trong đó có 8 carbon bậc 4 của vòng thơm tại  $\delta_C$  164,1, 161,2, 160,1; 156,3, 155,6 120,5 và 104,2; một carbon carbonyl ở  $\delta_C$  177,9; 6 carbon methin vòng thơm &  $\delta_C$  130,1, 115,6, 98,5 và 93,6; một carbon methoxy ở  $\delta_C$  59,6, cho thấy hợp chất (1) là flavonoid có vòng A bì thê ở vị trí 5 và 7 và vòng B bì thê ở 4'. Trên phổ HMBC, proton ở  $\delta_H$  6,20 (1H, d, J = 2, H<sub>6</sub>) và  $\delta_H$  6,40 (1H, d, J = 2, H<sub>3</sub>) ghép cặp *meta* với nhau và đều cho tương tác với carbon vòng thơm từ cặp gân oxygen ở  $\delta_C$  164,1 và với carbon từ cặp vòng thơm không gân oxygen ở  $\delta_C$  104,2 nên hai carbon này lẩn lượt là C<sub>7</sub> và C<sub>10</sub>. Hai proton này cũng lẩn lượt cho tương tác với hai carbon vòng thơm oxygen hoá ở  $\delta_C$  156,3 và  $\delta_C$  161,2 nên hai carbon này lẩn lượt là C<sub>8</sub> và C<sub>5</sub>. Proton ở  $\delta_H$  7,93 (2H, m, H<sub>4'</sub>, H<sub>2'</sub>) đều cho tương tác với carbon từ cặp vòng thơm không mang oxygen ở  $\delta_C$  120,5 và 2 carbon từ cặp vòng thơm mang oxygen ở  $\delta_C$  160,1 và  $\delta_C$  155,6, đồng thời proton ở  $\delta_H$  6,94 (2H, m, J = 2, H<sub>5'</sub>, H<sub>3'</sub>) cho tương tác với carbon từ cặp vòng thơm không mang oxygen ở  $\delta_C$  120,5 và 1 carbon bậc 4 ở  $\delta_C$  160,1; vậy 2 carbon từ cặp vòng thơm mang oxygen này lẩn lượt là C<sub>2</sub>, C<sub>4</sub>; còn carbon bậc 4 còn lại là C<sub>1</sub>. Ngoài ra, proton của nhóm methoxyl ở  $\delta_H$  3,78

(1H, s, H<sub>11</sub>) tương tác với carbon bậc 4 vòng thơm mang oxygen ở  $\delta_C$  137,6 (C<sub>3</sub>), nên nhóm methoxyl gắn vào flavonoid ở vị trí C<sub>3</sub>.

Tóm lại từ phổ  $^1H$ -NMR, phổ  $^{13}C$ -NMR, kết hợp với phổ DEPT, HSQC, HMBC; các đặc trưng vật lý và so sánh với các tài liệu đã công bố<sup>[5,6]</sup>, chúng tôi nhận danh hợp chất (1) là kaempferol-3-O-methylether.

#### Xác định hợp chất (2)

Hợp chất (2) thu được dưới dạng bột vô định hình, màu vàng, điểm nóng chảy: 210-211 °C; sắc ký lớp mỏng (TLC) triển khai bằng hệ CHCl<sub>3</sub>-MeOH (95 : 5) hiện màu băng dung dịch  $H_2SO_4$  10% trong EtOH, cho vết tròn màu vàng có  $R_f = 0,45$ .

**Phổ  $^1H$ -NMR (500 MHz, DMSO, δ ppm)** (Bảng 1) cho tín hiệu cũng tương tự các tín hiệu của hợp chất (1) nhưng có thêm 1 nhóm methoxyl. Phổ HMBC cho thấy nhóm methoxyl này có tín hiệu ở  $\delta_C$  3,85 (1H, s, H<sub>12</sub>) cho tương tác với carbon từ cặp vòng thơm mang oxygen ở  $\delta_C$  161,3 (C<sub>4'</sub>); do đó chúng tôi nhận danh hợp chất (2) là kaempferol-3,4'-O-dimethylether

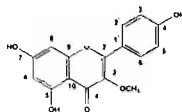
#### Xác định hợp chất (3)

Hợp chất (3) thu được dưới dạng bột vô định hình, màu vàng, sắc ký lớp mỏng (TLC) triển khai bằng hệ CHCl<sub>3</sub>-MeOH (9 : 1) hiện màu băng dung dịch  $H_2SO_4$  10% trong EtOH, cho vết tròn màu vàng có  $R_f = 0,43$ .

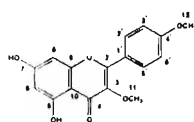
**Phổ  $^1H$ -NMR (500 MHz, DMSO, δ ppm)** (Bảng 1) cho các tín hiệu tương tự như của chất (1) nhưng hợp chất (3) lại có thêm một đơn vị đường gân vào khung flavonoid do có các tín hiệu của proton anomer ở  $\delta_H$  5,27 (1H, d, J = 1) cho thấy đây là đường α. Các tín hiệu proton methin mang oxygen của phần đường có  $\delta_H$  3,22 - 4,01, một nhóm methyl ở  $\delta_H$  0,69 (3H, d, J = 6) cho thấy đây là đường α-rhamnose; ngoài ra còn 1 nhóm methyl acetoxy ở  $\delta_H$  1,99 (3H, s). Phổ  $^{13}C$ -NMR (125 MHz, δ ppm) cho các tín hiệu cộng hưởng của 1 carbon acetal ở  $\delta_C$  101,3 (C<sub>1'</sub>), 5 carbon methin vòng thơm, 4 carbon methin kè oxygen và 1 nhóm methyl ở  $\delta_C$  17,0 và 1 nhóm methyl acetoxy ở  $\delta_C$  20,8; 1 carbon carbonyl của khung flavonoid ở  $\delta_C$  177,5 (C-4') và 1 carbon carbonyl còn lại ở  $\delta_C$  169,8. Phổ HSQC cho thấy carbon acetal ở tương quan với proton anomer tại  $\delta_H$  5,27 (1H, d, J = 1, H<sub>1''</sub>), cho biết đây là đường α-L-rhamnose. Phổ HMBC cho thấy proton anomer

## ● Nghiên cứu – Kỹ thuật

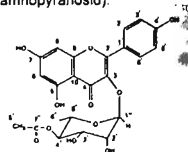
của đơn vị đường ở  $\delta_c$  5,27 (1H, d, J = 1, H<sub>1'</sub>) cho tương quan với  $\delta_c$  133,89 (C<sub>3</sub>). Vậy, đơn vị đường α-L-rhamnose gắn tại vị trí C<sub>3</sub> của khung flavonoid. Phổ HMBC cũng cho thấy proton methin của phân đường có tín hiệu tại  $\delta_c$  4,69 (1H, t, J = 10, H<sub>4'</sub>) và proton methyl acetoxy có tín hiệu tại  $\delta_c$  1,99 (3H, s, H<sub>8'</sub>) đều cho tương tác với carbon carbonyl ở  $\delta_c$



kaempferol-3-O-methylether  
(1)



kaempferol-3,4'-O-dimethylether  
(2)



kaempferol-3-O-(4-O-acetyl- $\alpha$ -L-rhamnopyranosid) (3)

Bảng 1: Dữ liệu phổ <sup>1</sup>H, <sup>13</sup>C-NMR và HMBC của chất (1), (2) và (3)

Vị trí	<sup>13</sup> C-NMR δ ppm			<sup>1</sup> H-NMR δ ppm, J=Hz			HMBC <sup>1</sup> H → <sup>13</sup> C		
	(1)	(2)	(3)	(1)	(2)	(3)	(1)	(2)	(3)
2	155,6	155,1	157,3						
3	137,6	137,8	133,9						
4	177,9	177,9	177,5						
5	161,2	161,3	161,1						
6	98,5	98,6	98,8	6,20 (1H, d, J=2)	6,18 (1H, d, J=2)	6,20 (1H, d, J=1,5)	H <sub>6</sub> → C <sub>5</sub> , C <sub>7</sub> , C <sub>8</sub> , C <sub>10</sub>	H <sub>6</sub> → C <sub>5</sub> , C <sub>7</sub> , C <sub>8</sub> , C <sub>10</sub>	H <sub>6</sub> → C <sub>5</sub> , C <sub>7</sub> , C <sub>8</sub> , C <sub>10</sub>
7	164,1	164,4	164,6						
8	93,7	93,7	93,8	6,44 (1H, d, J=2)	6,38 (1H, d, J=2)	6,44 (1H, d, J=1,5)	H <sub>8</sub> → C <sub>6</sub> , C <sub>7</sub> , C <sub>9</sub> , C <sub>10</sub>	H <sub>8</sub> → C <sub>6</sub> , C <sub>7</sub> , C <sub>9</sub> , C <sub>10</sub>	H <sub>8</sub> → C <sub>6</sub> , C <sub>7</sub> , C <sub>9</sub> , C <sub>10</sub>
9	156,3	56,4	156,5						
10	104,2	104,2	103,9						
11	59,6	59,7		3,78 (3H, s)	3,78 (3H, s)		H <sub>11</sub> → C <sub>3</sub>	H <sub>11</sub> → C <sub>3</sub>	
12		55,38			3,85 (3H, s)			H <sub>12</sub> → C <sub>4</sub>	
1'	120,5	122,2	120,3						
2'	130,1	129,9	130,5	7,93 (1H, d, J=9)	8,02 (1H, d, J=9)	7,73 (2H, d, J=8,5)	H <sub>2'</sub> → C <sub>2</sub> , C <sub>3</sub> , C <sub>4</sub> ', C <sub>6</sub> '	H <sub>2'</sub> → C <sub>2</sub> , C <sub>3</sub> , C <sub>4</sub> ', C <sub>6</sub> '	H <sub>2'</sub> → C <sub>2</sub> , C <sub>3</sub> , C <sub>4</sub> ', C <sub>6</sub> '
3'	115,6	114,2	115,3	6,94 (1H, d, J=9)	7,12 (1H, d, J=9)	6,93 (2H, d, J=9)	H <sub>3'</sub> → C <sub>5</sub> ', C <sub>1</sub> ', C <sub>4</sub> '	H <sub>3'</sub> → C <sub>5</sub> ', C <sub>1</sub> ', C <sub>4</sub> '	H <sub>3'</sub> → C <sub>5</sub> ', C <sub>1</sub> ', C <sub>4</sub> '
4'	160,1	161,3	160,1						
5'	115,6	114,2	115,3	6,94 (1H, d, J=9)	7,12 (1H, d, J=9)	6,93 (2H, d, J=9)	H <sub>5'</sub> → C <sub>3</sub> ', C <sub>1</sub> ', C <sub>4</sub> '	H <sub>5'</sub> → C <sub>3</sub> ', C <sub>1</sub> ', C <sub>4</sub> '	H <sub>5'</sub> → C <sub>3</sub> ', C <sub>1</sub> ', C <sub>4</sub> '
6'	130,1	129,9	130,5	7,93 (1H, d, J=9)	8,02 (1H, d, J=9)	7,73 (2H, d, J=8,5)	H <sub>6'</sub> → C <sub>2</sub> , C <sub>3</sub> , C <sub>4</sub> ', C <sub>2</sub> '	H <sub>6'</sub> → C <sub>2</sub> , C <sub>3</sub> , C <sub>4</sub> ', C <sub>2</sub> '	H <sub>6'</sub> → C <sub>2</sub> , C <sub>3</sub> , C <sub>4</sub> ', C <sub>2</sub> '
1"		101,3				5,27 (1H, d, J=1)		H <sub>1''</sub> → C <sub>3</sub> , C <sub>2</sub> ', C <sub>3</sub> '	
2"		69,9				4,01 (1H, lrs)		H <sub>2''</sub> → C <sub>3</sub> ', C <sub>4</sub> '	
3"(5")		67,8				3,22 (2H, m)		H <sub>3''</sub> → C <sub>4</sub> '	
4		73,1				4,69 (1H, l, J=10)		H <sub>4''</sub> → C <sub>3</sub> ', C <sub>5</sub> ', C <sub>6</sub> ', C <sub>7</sub> '	
3"(5")		67,8				3,68		H <sub>5''</sub> → C <sub>4</sub> '	

# ● Nghiên cứu – Kỹ thuật

Vị trí	<sup>13</sup> C-NMR δ ppm			<sup>1</sup> H-NMR δ ppm, J=Hz			HMBC <sup>1</sup> H→ <sup>13</sup> C		
	(1)	(2)	(3)	(1)	(2)	(3)	(1)	(2)	(3)
6°	16,9			(1H, dd, J=2,5 và J=9,5)			$\text{H}_6^{\alpha} \rightarrow \text{C}_4^{\alpha}$ . $\text{C}_5^{\alpha}$		
7°	169,8			(3H, d, J=6)					
8°	20,8			1,99 (3H, s)			$\text{H}_8^{\alpha} \rightarrow \text{C}_7^{\alpha}$		

## Kết luận

Từ thân rễ cây gừng giỏ 08 tháng tuổi trồng tại An Giang, chúng tôi đã phân lập và nhận danh cấu trúc ba hợp chất là: kaempferol-3-O-methylether (1), kaempferol-3,4'-O-dimethylether (2) và kaempferol-3-O-(4-O-acetyl- $\alpha$ -L-rhamnopyranosid) (3).

## Summary

From ethylacetate extracts of the rhizomes of Zingiber zerumbet (L.) Sm.) cultivated in An Giang province, kaempferol-3-O-methylether (1), kaempferol-3,4'-O-dimethylether (2) and kaempferol-3-O-(4-O-acetyl- $\alpha$ -L-rhamnopyranoside) (3) were isolated. Their structures were elucidated by NMR (1D and 2D - NMR) with reference to the literature data.

**Keywords:** Zingiber zerumbet, kaempferol-3-O-methylether (1), kaempferol-3,4'-O-dimethylether (2) and kaempferol-3-O-(4-O-acetyl- $\alpha$ -L-rhamnopyranoside) (3)

**Lời cảm ơn:** Nhóm nghiên cứu xin chân thành cảm ơn Sở Khoa học Càn Thơ đã hỗ trợ kinh phí và cảm ơn lập thể phòng Nghiên cứu cấu trúc – Viện Hoá học đã giúp đỡ phổ NMR

## Tài liệu tham khảo

- Viện Dược Liệu, Cây thuốc và động vật làm thuốc ở Việt Nam, Nhà xuất bản Khoa học và Kỹ Thuật, (2004), tập I, trang 882
- Phạm Hoàng Hộ, Cây cỏ Việt Nam III, Nhà xuất bản Trẻ, Tp Hồ Chí Minh, (2000), trang 447.
- Đỗ Tất Lợi, Những cây thuốc và vị thuốc Việt Nam, Nhà xuất bản Khoa Học Kỹ Thuật, (1995), trang 477.
- Văn Ngọc Hướng, Đỗ Thị Thanh Thúy, Mai Thị Hiền, Cường độ gây độc in vitro đối với tế bào ung thư và hoạt tính kháng vi sinh vật kiểm định của zerumbon phân lập từ thân rễ gừng Zingiber zerumbet Sm vùng Tam Đảo, *Tạp chí Dược học*, (2004), số 340, trang 15.
- Dae Sik Jang, Ah-Reum Han, Gowooni Park, Gil-Ja Jhon, Eun-Kyoung Seo, Flavonoids and Aromatic Compounds from the Rhizomes of Zingiber zerumbet, *Arch Pharm Res*, (2004), Vol 27, No 4, pp 386-389.
- Nobuji NaKaTaNi, Akiko Jrroe, Toshiya Masuda, Shigetomo Yonemori, Flavonoid Constituents of Zingiber zerumbet Smith, *Agric Biol Chem*, (1991), 55 (2), 455 – 460.

## Nghiên cứu... (Tiếp theo trang 47)

Như vậy, trên cơ sở các kết quả đã đạt được có thể tin tưởng vào khả năng tư sản xuất thành công loại thuốc có ý nghĩa quan trọng cả với quân sự và dân sinh này trong điều kiện Việt Nam

## Summary

As fentanyl injection is popular for analgesic and anesthetic use, in this study, fentanyl injection was prepared from the domestic materials and evaluated for analgesic, anesthetic, muscle-relaxative effects on mice, rats, rabbits and dogs. Also, the findings showed several minute differences from the imported fentanyl injection from Poland.

## Tài liệu tham khảo

- Phạm Duy Nam và cộng sự, Nghiên cứu quy trình công nghệ tổng hợp fentanyl citrat dùng làm thuốc gây mê, giảm đau trong và sau phẫu thuật, Trung tâm Nhiệt đới Việt-Nga / Báo cáo tổng kết đề tài cấp Bộ quốc phòng, Hà Nội, tháng 9 năm 2007
- Turner A., *Screening methods in pharmacology*, Academic Press, New York, (1965), p 60-68
- Charles C Thomas, *Techniques and procedures of Anesthesia*, 3 rd Ed Springfield, Ill, Publisher, 1964
- Raymond M. Burgison, Animal techniques for evaluation anesthetic drugs in book: *Animal and Clinical techniques for evaluating drugs*, (1967)
- Gardocki J F and John Yelnosky, *Toxicology and applied pharmacology*, (1964), Vol 6, 48-62